



中南大学  
Central South University

相图、相变、材料设计与制备科学中心  
Science Center for Phase Diagram, Phase Transition, Materials Design and Preparation

硬质合金微结构研究小组  
"Microstructure in Cemented Carbide" Cooperation Group

中德“微结构”联合实验室  
Sino-German Cooperation Group "Microstructure"

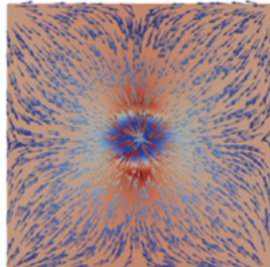
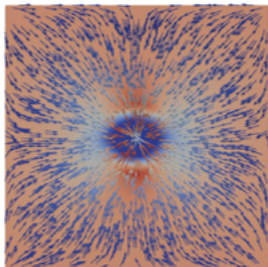
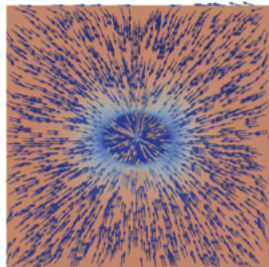
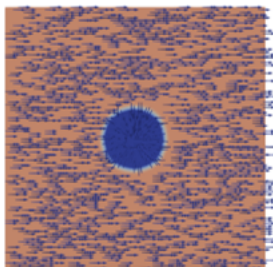
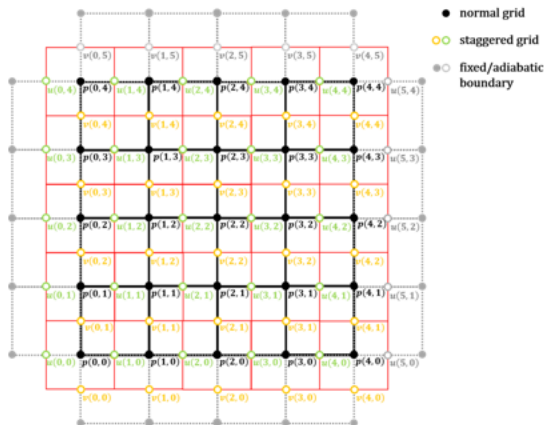
# 多物理场耦合的相场模拟软件 (MInDeS) 开发 ——固体力学模块

汇报者：黄 奇  
指导老师：杜 勇 教授

# 1、机械平衡求解

## 1.1 显式差分法

- $\sigma = C: (\epsilon - \epsilon^*)$  应力求解
- $\rho \frac{\partial^2 \mathbf{u}}{\partial t^2} = \nabla \cdot \sigma$  动量平衡
- $\epsilon_{ij} = \frac{1}{2} \left( \frac{\partial u_i}{\partial r_j} + \frac{\partial u_j}{\partial r_i} \right) + \epsilon_{ij}^{app}$  小应变模型
- 位移场迭代至机械平衡:





# 1、机械平衡求解

## 1.2 半隐式光谱法

- 半隐式求解位移场

$$\frac{\partial u_i(\vec{r})}{\partial r_j}$$

$$= \int_{|\vec{k} \neq 0} \left\{ n_j \Omega_{ij}(\vec{n}) \int_V \left[ C_{ijkl}(\vec{r}) \varepsilon_{kl}^*(\vec{r}) + (C_{ijkl}^0 - C_{ijkl}(\vec{r})) \varepsilon_{kl}(\vec{r}) \right] e^{-i\vec{k}\vec{r}} d^3r \right\} e^{i\vec{k}\vec{r}} \frac{d^3k}{(2\pi)^3}$$

- 边界条件求解

- > 求模拟域平均应力:  $\bar{\sigma}_{ij} = \frac{1}{V} \int_V \left\{ C_{ijkl}(\vec{r}) \left[ \frac{1}{2} \left( \frac{\partial u_i(\vec{r})}{\partial r_j} + \frac{\partial u_j(\vec{r})}{\partial r_i} \right) - \varepsilon_{kl}^*(\vec{r}) \right] \right\} d^3r$
- > 根据外加应力求对应的外加应变:  $\sigma_{ij}^{tag} = \sigma_{ij}^{app} - \bar{\sigma}_{ij}$  ,  $\varepsilon_{ij}^{app} = S_{ijkl}(\vec{r}) \sigma_{ij}^{tag}$
- > 若设定的为外加应变, 将直接设置外加应变:  $\varepsilon_{ij}^{app}$

- 小应变模型求总应变

$$\varepsilon_{ij}(\vec{r}) = \frac{1}{2} \left( \frac{\partial u_i(\vec{r})}{\partial r_j} + \frac{\partial u_j(\vec{r})}{\partial r_i} \right) + \varepsilon_{ij}^{app}$$

- 迭代求解位移场、应力场及应变场, 得机械平衡。

## 2、塑性屈服求解

### 2.1 屈服准则：Prandtl-Reuss 模型

$$f((\sigma^{el})', \bar{\epsilon}^{pl}) := \|(\sigma^{el})'\| - \sqrt{\frac{2}{3}}(f_y(\phi) + H(\phi)\bar{\epsilon}^{pl}) \leq 0$$

- $(\sigma^{el})' = \sigma^{el} - \frac{1}{3}(\sigma_{11}^{el} + \sigma_{22}^{el} + \sigma_{33}^{el})\mathbf{1}$
- $f_y(\phi) = \sum_{\alpha} f_y^{\alpha} h(\phi^{\alpha}) \quad H(\phi) = \sum_{\alpha} H^{\alpha} h(\phi^{\alpha})$
- **求解法：**
- 纯弹性预测( $t^{n+1}$ ):  $(\sigma^{trial})^{n+1} = C:((\epsilon)^{n+1} - (\epsilon^{pl})^n)$
- 屈服检测: 若  $f[(\sigma^{trial})^{n+1}, (\bar{\epsilon}^{pl})^n] > 0$ , 则进行塑性求解:

- 计算塑性求解量级( $\Delta\gamma$ ):  $\Delta\gamma = \frac{f[(\sigma^{trial})^{n+1}, (\bar{\epsilon}^{pl})^n]}{2\mu(\phi) + \frac{2}{3}H(\phi)}$
- $(\bar{\epsilon}^{pl})^{n+1} = (\bar{\epsilon}^{pl})^n + \sqrt{\frac{2}{3}}\Delta\gamma$
- $(\epsilon^{pl})^{n+1} = (\epsilon^{pl})^n + \Delta\gamma \frac{(\sigma^{trial})^{n+1}}{\|(\sigma^{trial})^{n+1}\|}$
- $(\sigma^{trial})^{n+1} = (\sigma^{trial})^{n+1} - 2\mu(\phi)\Delta\gamma \frac{(\sigma^{trial})^{n+1}}{\|(\sigma^{trial})^{n+1}\|}$
- $\mu(\phi) = \sum_{\alpha} \mu^{\alpha} h(\phi^{\alpha})$

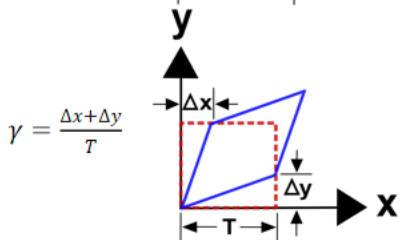
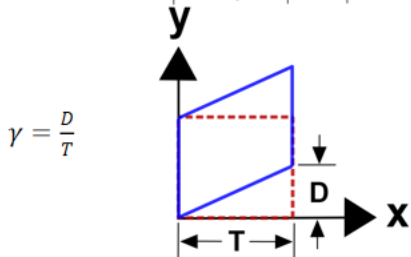
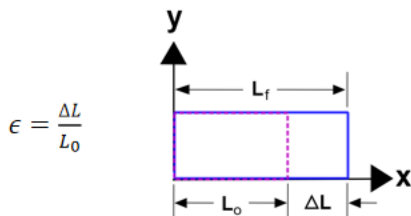
迭代至  $f[(\sigma^{trial})^{n+1}, (\bar{\epsilon}^{pl})^n] < 0$

### 3、应变模型

#### 3.1 小应变模型

- 当形变量微小，忽略形变对质点空间位置的影响，在参考构型上计算位移梯度：

$$\begin{bmatrix} \epsilon_{xx} & \epsilon_{xy} & \epsilon_{xz} \\ \epsilon_{yx} & \epsilon_{yy} & \epsilon_{yz} \\ \epsilon_{zx} & \epsilon_{zy} & \epsilon_{zz} \end{bmatrix} = \epsilon = \begin{bmatrix} \epsilon_{xx} \\ \epsilon_{yy} \\ \epsilon_{zz} \\ \epsilon_{yz} \\ \epsilon_{xz} \\ \epsilon_{xy} \end{bmatrix} = \begin{bmatrix} \frac{\partial u_x}{\partial r_x} \\ \frac{\partial u_y}{\partial r_y} \\ \frac{\partial u_z}{\partial r_z} \\ \frac{1}{2} \left( \frac{\partial u_y}{\partial r_z} + \frac{\partial u_z}{\partial r_y} \right) \\ \frac{1}{2} \left( \frac{\partial u_x}{\partial r_z} + \frac{\partial u_z}{\partial r_x} \right) \\ \frac{1}{2} \left( \frac{\partial u_x}{\partial r_y} + \frac{\partial u_y}{\partial r_x} \right) \end{bmatrix}$$

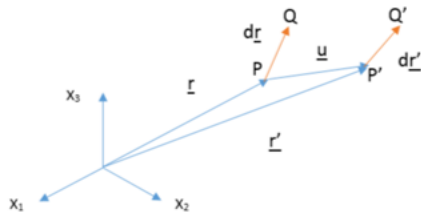


### 3、应变模型

#### 3.2 有限应变模型（暂未实现）

- 当空间微小元PQ因形变变成P'Q'，形变量不可忽略，在当前构型上计算位移梯度：

... ..

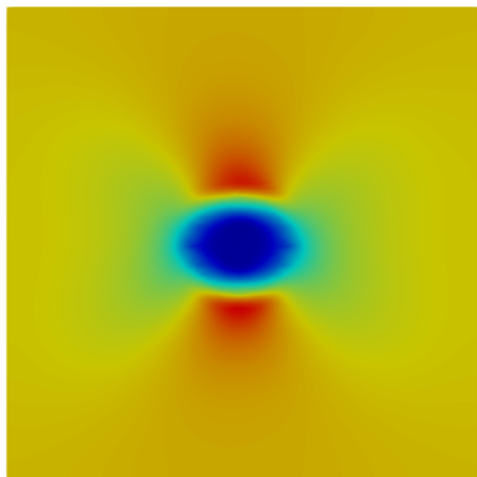


## 4、模型测试

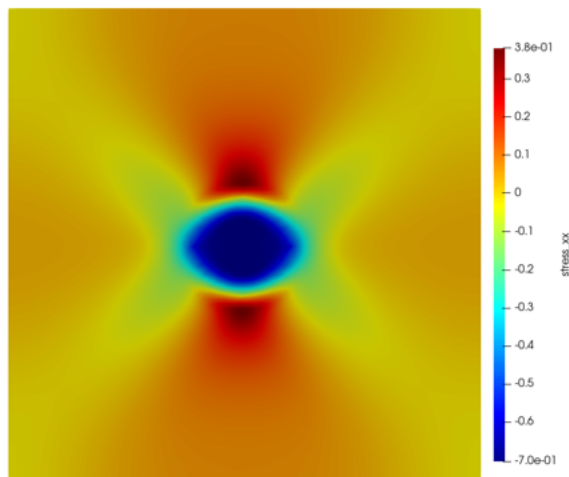
### 4.1 纯弹性 - 显式差分法、半隐式光谱法对比

- 2维 - 颗粒夹杂:

显式



隐式



求解步数: 8548  
 应变精度:  $1e-6$   
 耗时(s): 75.795

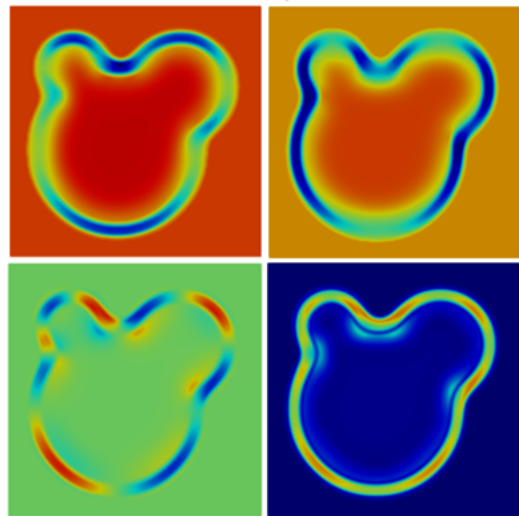
5  
 $1e-6$   
 0.211

## 4、模型测试

### 4.1 纯弹性 - 显式差分法、半隐式光谱法对比

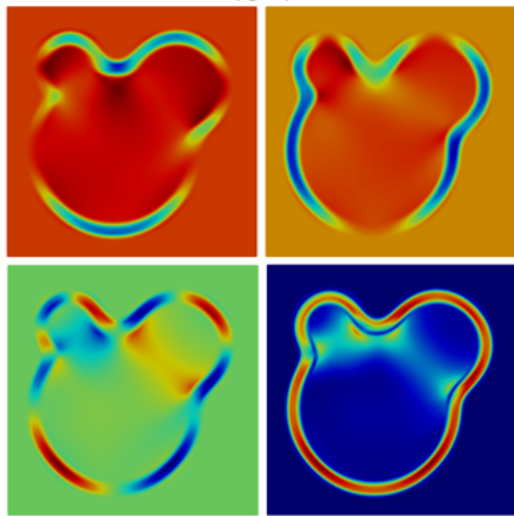
- 2维 - 复杂形貌、不均匀弹性模量、本征应变：

显式



求解步数： 3783  
 应变精度：  $1e-5$   
 耗时(s)： 132.833

隐式



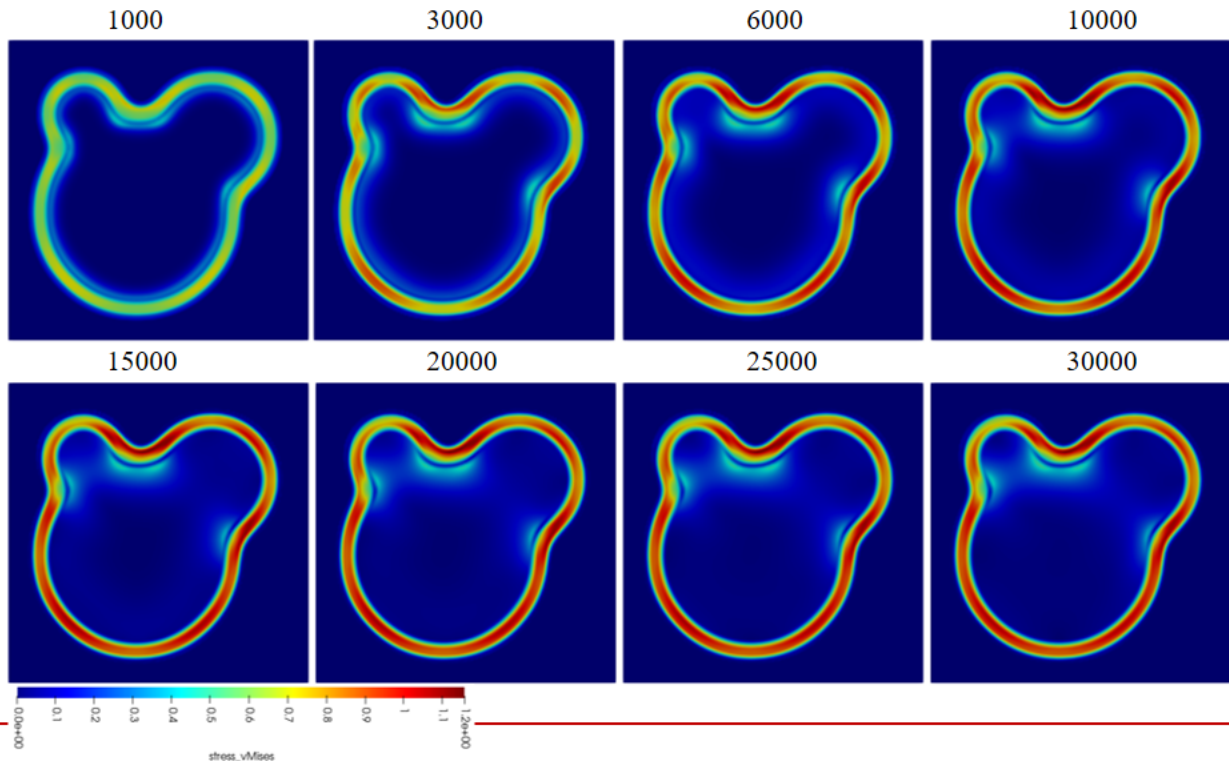
21  
 $1e-4$  (1e-5 收敛失败)  
 1.377



## 4、模型测试

### 4.1 纯弹性 - 显式差分法、半隐式光谱法对比

- 收敛步数的影响 - 显式



## 4、模型测试

### 4.1 纯弹性 - 显式差分法、半隐式光谱法对比

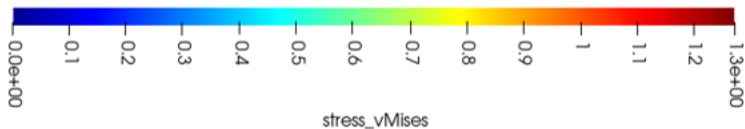
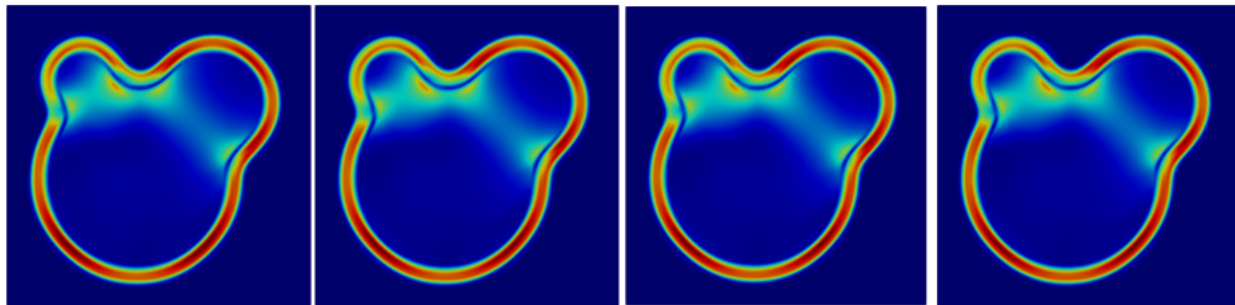
- 收敛步数的影响 – 隐式

5

10

15

20



## 4、模型测试

### 4.2 半隐式机械平衡求解 + 塑性求解

- 研究对象，铁素体内的纯弹性夹杂物
- 铁素体 (m) :  $E_m = 210\text{Gpa}$ ,  $\nu_m = 0.288$ ,  $f_{ym} = 275\text{Mpa}$ ,  $H_m = 0.1\text{Mpa}$
- 夹杂物 (i) :  $E_i = 10\text{Gpa}$ ,  $\nu_i = 0.288$ ,  $f_{yi} = 10^3 f_{ym}$ ,  $H_i = 10H_m$
- 二维结构:

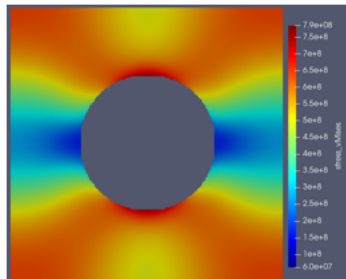
X 方向施加动态应变



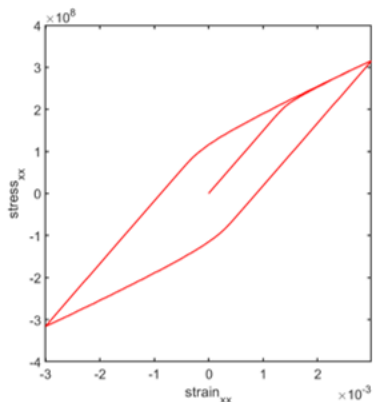
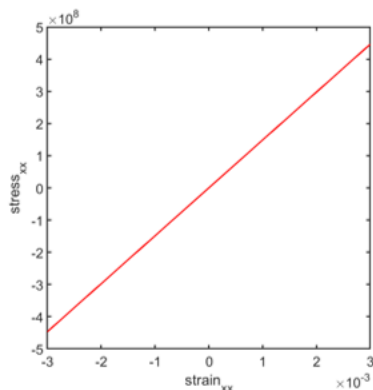
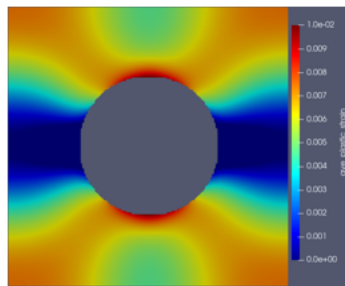
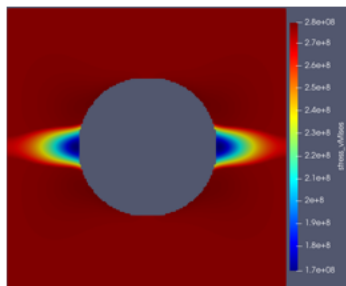
## 4、模型测试

### 4.2 半隐式机械平衡求解 + 塑性求解

- 研究对象，铁素体内的纯弹性夹杂物
- Pure elasticity:



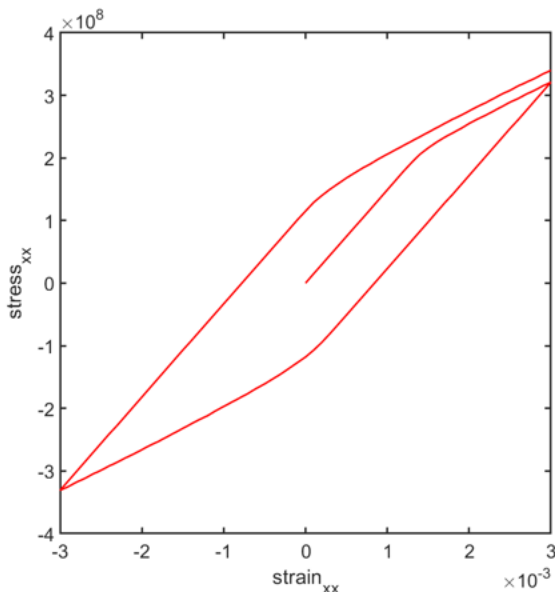
- Elasticity + plasticity



## 4、模型测试

### 4.2 半隐式机械平衡求解 + 塑性求解

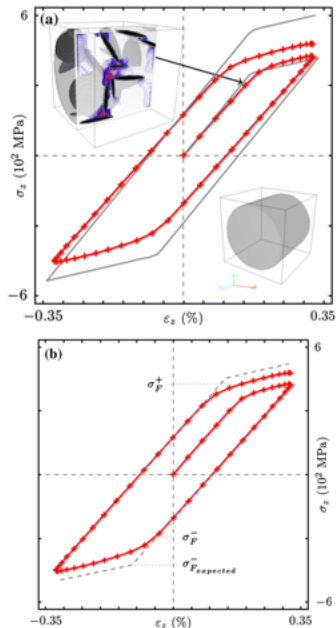
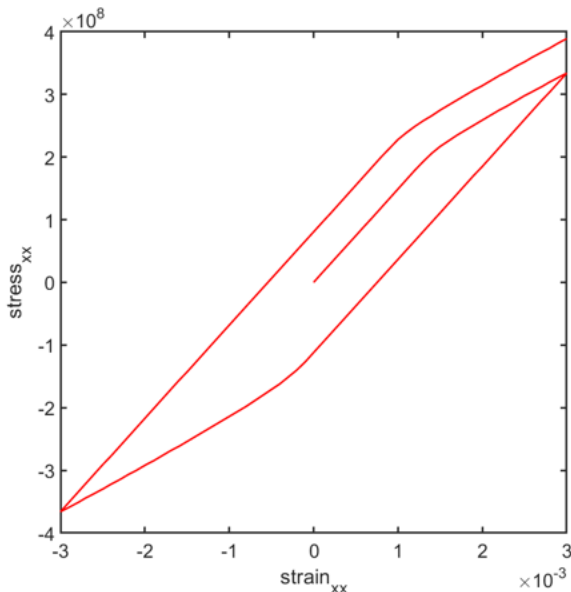
- 研究对象，铁素体内的纯弹性夹杂物
- 铁素体 (m) :  $E_m = 210\text{Gpa}$ ,  $\nu_m = 0.288$ ,  $f_{ym} = 275\text{Mpa}$ ,  $H_m = 10\text{Gpa}$
- 夹杂物 (i) :  $E_i = 10\text{Gpa}$ ,  $\nu_i = 0.288$ ,  $f_{yi} = 10^3 f_{ym}$ ,  $H_i = 10H_m$



## 4、模型测试

### 4.2 半隐式机械平衡求解 + 塑性求解

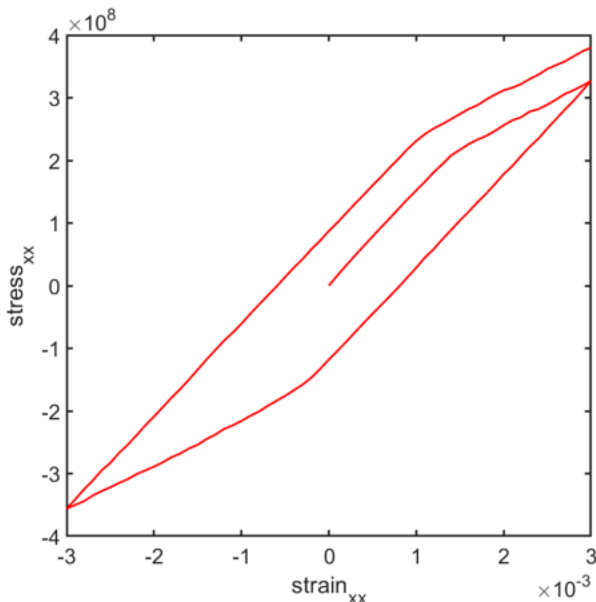
- 研究对象，铁素体内的纯弹性夹杂物
- 铁素体 (m) :  $E_m = 210\text{Gpa}$ ,  $\nu_m = 0.288$ ,  $f_{ym} = 275\text{Mpa}$ ,  $H_m = 40\text{Gpa}$
- 夹杂物 (i) :  $E_i = 10\text{Gpa}$ ,  $\nu_i = 0.288$ ,  $f_{yi} = 10^3 f_{ym}$ ,  $H_i = 10H_m$
- 时间: 57.938 s



## 4、模型测试

### 4.3 显式机械平衡求解 + 塑性求解

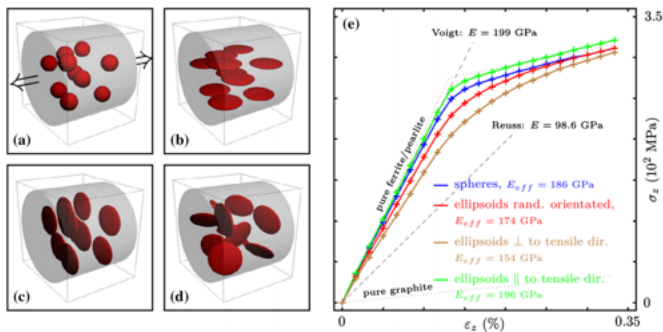
- 研究对象，铁素体内的纯弹性夹杂物
- 铁素体 (m) :  $E_m = 210\text{Gpa}$ ,  $\nu_m = 0.288$ ,  $f_{ym} = 275\text{Mpa}$ ,  $H_m = 40\text{Gpa}$
- 夹杂物 (i) :  $E_i = 10\text{Gpa}$ ,  $\nu_i = 0.288$ ,  $f_{yi} = 10^3 f_{ym}$ ,  $H_i = 10H_m$
- 时间: 3.255 小时



# 5、应用展望

## 5.1 应用案例

- 夹杂物对材料力学性能的影响



- 脆性、韧性 或 复合材料裂纹

